ходим к определению фаз указанных напряжений. Для этого предварительно вычисляем:

$$S_{m-1} \cos \gamma_m = 0.5 [b_m + x_{m-2} - x_m - x_{m+1} + \frac{S_{m+2}}{x} - 2b_{m-2} S_{m-2} \cos (\varphi_{m-2} - \varphi_{m-2(m-2)})], \quad (m = 1 \pm 3).$$
 (12)

а по ним:

$$S_{mm-1} \sin z = \frac{1}{x_{m+1} \cos \varphi_{m} + 2\pi \cos \varphi_{m-2}} \cos \varphi_{m-2}$$

$$\varphi_{mm} + b_{m} x_{m} \sin (\varphi_{mm} - \varphi_{mm}) + S_{mm+1} \cos \varphi_{m}$$

$$[S_{m-1} \sin (\varphi_{m+1} - \varphi_{m+1}) + b_{m-1} x_{m-1} \sin (\varphi_{m+1}) + \varphi_{m} + 2\pi \cos \varphi_{m}]$$

$$= \varphi_{m-1} \sin (\varphi_{m+1} - \varphi_{m+1}) + (m+1) +$$

В записанных выражениях:

$$S_{mm-1} = U_m U_{mm+1} y_{mm+1}. (14)$$

$$\varphi_m = \psi_m - \psi_{m-1} - \varphi_{m-2m-1} \cdot \varphi_{m+1 \cdot m+2} \,. \tag{15}$$

Наконец, имея числовые значения левых частей равенств (12) и (13), определяем тангенсы углов $\frac{1}{24}$, $\frac{1}{22}$, $\frac{1}{23}$ и дялее, на основания (15), ни-числяем фазы напряжений на зажимах шестиволюсника $\frac{1}{24}$, $\frac{1}{24}$,

Ереванский политехнический институт им. К. Маркса

Поступнао 25.V.1967.

ЛИТЕРАТУРА

- 1. Адони Г. Т. Миогонолюских И д. АН АрмССР Ереван 1965.
- 2 Крылов А. Н. Лекции о приближенных вычислениях. М., 1950

х. о геворкян

О ПРИРОДЕ КОНТАКТНЫХ ПРОЦЕССОВ ОБЖИГА ФОСФОРА

Основными процессами образования структуры фарфора являктся муллитизация и стеклообразование [1]. При обжите в одной и той
же температурной области одновременно протекают разные процессы,
которые настолько тесно переплетаются друг с другом, что часто их
трудно разграничить. По существу в экспериментальном исследования
измеряют лишь суммарное действие различных процессов. Отсюда
возникает необходимость расчленения сложного взаимодействия на
возможно более простые, элементарные процессы. Именно поэтому,
изучая взаимодействие фаз в тройной системе каолин-кварц-полевой
шпат, предварительно расчленяем его по двойным контактим — каолин-полевой шпат, кварц-полевой шпат и каолин-кварц. Для фарфорообразования наиболее существенное значение имеет изаимоденствие фаз по контакту каолин-полевой шпат, который и рассматри-

вается в настоящей работе. Была исследована масса, солержащая 60° Просяновского каолина и 40° Чупниского полевого шпата (табл. 1).

Таблица 1

Материалы	Содержание окисали (% %)			
	SiO ₂ Al ₂ O ₃ Fe ₂ O ₂ Ca	O MgO Na ₂ O	K,O n.n.u	
Каслин го-гол	- 46,69 37,42 0,44 0,7	9 0,55 0,12	0,80 13.35	
Полевон шпат .	· 64,74 19,10 0,10 0,1	9 0.17	12,51 0,71	

После помола исходных материалов методом полусухого прессования были приготовлены образцы (1,0 1.0×0,5 см), которые обжигались при температуре 950, 1050, 1150, 1200, 1250, 1300, 1350, 1400°C со скоростью нагрева 3 в минуту и выдержкой 150 минут. Для обожженных образцов было выполнено петрографическое и реитгенографическое исследование, а также измерение физических характеристик (рис. 1).

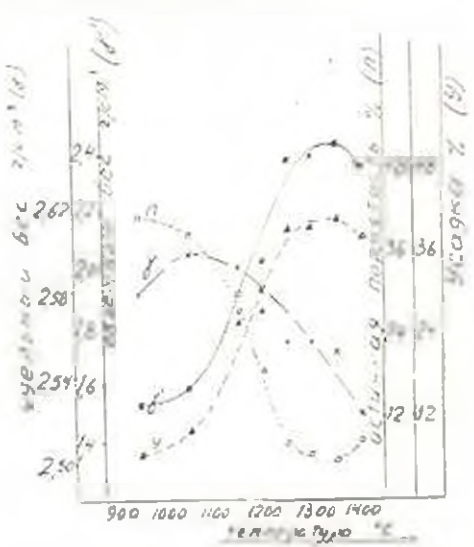


Рис. 1. Зависимость физических спойств массы от температуры оожига.

На основании экспериментальных данных было установлено, что спекание массы начинается после 1100 С. что сопровождается уменьшением удельного веса. Максимальное уплотиение достигается при 1350 С. а последующее повышение температуры вызывает снижение объемного веса и рост пористости, что объясняется вторичным порообразованием. Полученные экспериментальные данные, а также ранее описанные наблюдения [2] дают возможность рассмотреть процесс обжига двухкомпонеятной смеси, содержащей каолии и по-

левой шпат по нижеследующей схеме. В начальной стадии обжига до 1100—1150°С происходят твердофазные процессы, главным образом термические изменения каолинита с образованием муллита и аморфноговкремнезема грас. 2-б). При дальнейшем повышении температуры происходит илавление поленого шпата; образованный при этом расплав, благодаря своей смачивающей способности вступает в адгелионное взаимодействие с твердыми частицами глинистого остатка; последиий смачивается расплавом, который образует мениск и

под действием сил поверхностного натяжения жидкая фаза перемещается, вызывая некоторое смещение твердых частиц, которые стятиваются, обусловливая уменьшение пористости и уплотпение изделий (рис. 2-в). В этой начальной стадии плавления глубокого физикожимического изаимодействия фаз не происходит.

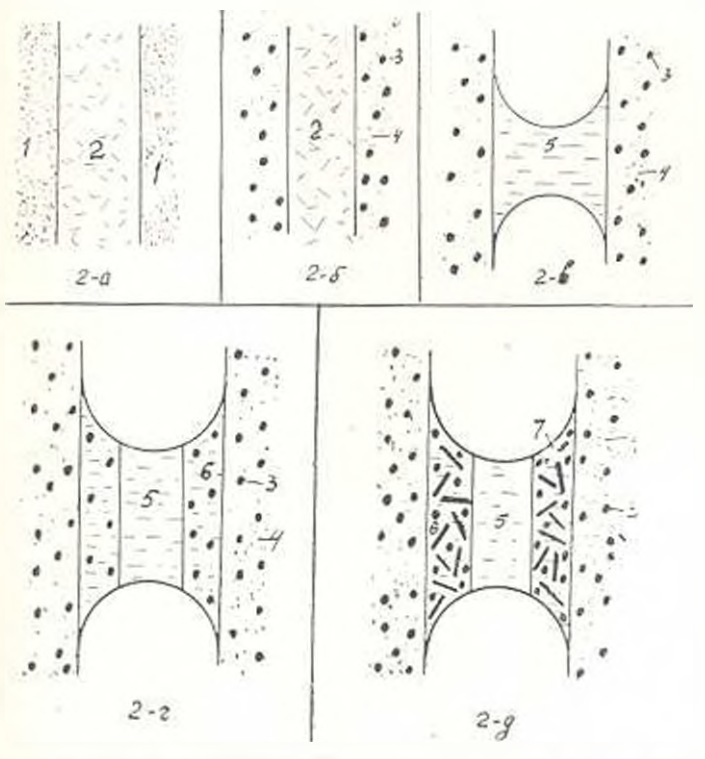


Рис 2 Схема процессов обжига по контакту каолин полевой шпат; 1—каолин; 2 – полевой шпат; 3— первичный муллит: 4— аморфиый кремпезем; 5— полевоппатопый расплав; 6—кремпезем-полевошнатовый рясплав; 7— вторичный муллит.

В структуре фарфора наблюдается стекло, которое некоторыми авторами называется "глинистым" [3], как образованное растворением глины в полевошнатовом расплаве. С таким толкованием процесса стеклообразования трудно согласиться, так как в рассматриваемой области (выше 1150) с жидкой фазой контрактирует не глинистое вещество, а продукты его твердофазных превращений — муллит и аморфный кремнезем (рис. 2-в). В таком контакте не будет происходить одновременное растворение всех компонентов. Первоначально будет растворяться более реакционноспособный аморфный кремнезем. Следовательно, по контакту образуется слой кремнезем-полевопнатового расплава, пронизанного мельчайшими зернами первичного муллита (рис. 2-г). Дальнейшее протекание процесса обусловливается количественным соотношением содержания в расплаве нонов λi^{3-1} : Si^{4-1} . По мере растворения кремнезема, это соотношение меняется, расплав становится более кислым по сравнению с чистым полевошнатовым

расплавом. В результате разности концентраций начинается растворение первичного муллита и после насыщения новами. АТ выкристаллизовывается вторичный муллит игловилной формы (рис. 2-д). Перекристаллизации муллита способствует наличие в расплаве некоторой упорядоченности. В расплаве имеются сиботоксические группы [4], содержащие группы [AlO₄], [AlO₄] и [8lO₄], являющиеся состанными элементами, из которых выкристаллизовывается вторичный игловидный муллит. Крупные кристаллы последнего в энергетическом отношении обладают большей стабильносты», так как диижущей силой описанного процесся перекриста личации является синжение свободной поверхностной энергии рассматриваемой системы.

В производстве тонкокерамических изделий произсо веркристаллизации муллита через расплав полностью не завершается. В зависимости от условий обжита получаются различные промежуточные состояния, и которых обжит, и следовательно, и перекристаллизация муллита приостанавлитаются при различных количественных соотношениях катионов. Соответственно при микроскопическом изучения в илифах наблюдаем разное количественное соотношение первичного и вторичного муллита. Основными факторами, определяющими скорость протекания процесса растворение перекристаллизация муллита, являются разность нонных концентраций, а также изменение температуры обжита; с повышением температуры ускоряются диффузионные процессы и растворение кристаллических фаз.

В соответствии с вышепринеденной схемой по двойному контакту каолии — полевой шпат, во время обжига образуется контактная зона, состоящая из полевошнатового стекла, зажатого между прослойками кремнезем-полевошнатового стекла, пронизанного кристалликами вторичного муллита и некоторого количества остаточного первичного муллита.

Ереванский полнтехнический институт им К. Маркса

Поступило 27,Х1,1967.

JHTEPATYPA

- Будников П. П., Геворкан X. О. Фарфор, М., 1955.
- 2 Геворкин V. О. Тр. Ереванского политехнического института, т. 5 1955
- 3 Hh Anmon F., Meinep B Journ Ame: Ceram So , 21 11, 1938
- 4. Френкель Я. И. Кинетическая теория жилкостей. АН СССР, М., 1946.

С 11 МЕКНИЯН

О ПРОЧНОСТИ СЦЕПЛЕНИЯ ШЛАКОБЕТОНА С ТУФОВЫМ КАМИЕМ

Исследование прочности спепления туфового камия с раствором и бетоном представляет иначительный интерес не только с точки зрения монолитности кладки, применяемой в сейсмических районах, но